

Prise en charge de la transposition des gros vaisseaux

Le point de vue du cardiopédiatre



Dr Daniela Laux
UE3C-Paris et M3C-CCML

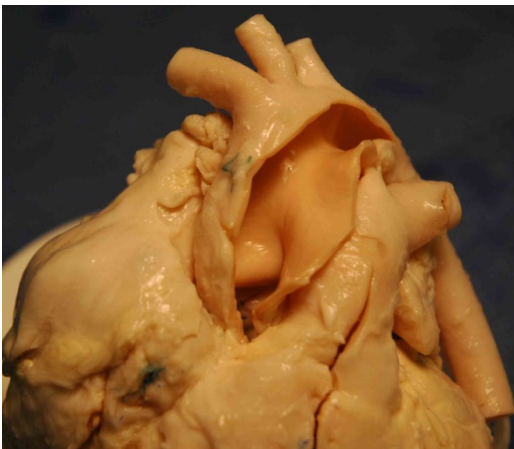


Cardiopathies congénitales humaines	Fréquence	Incidence
Communication interventriculaire (CIV)	30%	1500
Communication interauriculaire (CIA)	8%	400
Sténose pulmonaire (SP)	7%	350
Persistante du canal artériel (PCA)	7%	350
Coarctation de l'aorte (CoA)	6%	300
Tétralogie de Fallot (T4F)	6%	300
Transposition des gros vaisseaux (TGV)	5%	250
Sténose aortique (SA)	5%	250
Canal atrioventriculaire (CAV)	4%	200
Atrésie pulmonaire à septum intact (APSI)	2%	100
Atrésie pulmonaire à septum ouvert (APSO)	2%	100
Atrésie tricuspidale (AT)	2%	100
Tronc artériel commun (TAC)	2%	100
Retour veineux pulmonaire anormal (RVPA)	2%	100
Malpositions vasculaires (MV)	1%	50
Syndrome d'hypoplasie du cœur gauche (SHCG)	1%	50
Interruption de l'arc aortique (IAA)	1%	50
Ventricule unique (VU)	1%	50
Anomalie d'Ebstein	1%	50
Discordances AV et VA	1%	50
Autres	6%	300

TGV - définition

- AP au dessus du ventricule G
 - Aorte au dessus du ventricule D
 - = discordance ventriculo-artérielle
-
- La TGV n'est qu'une des malpositions vasculaires qui incluent:
TGV, VDDI, VGDI, malposition anatomiquement corrigée

VX NORMOPOSES

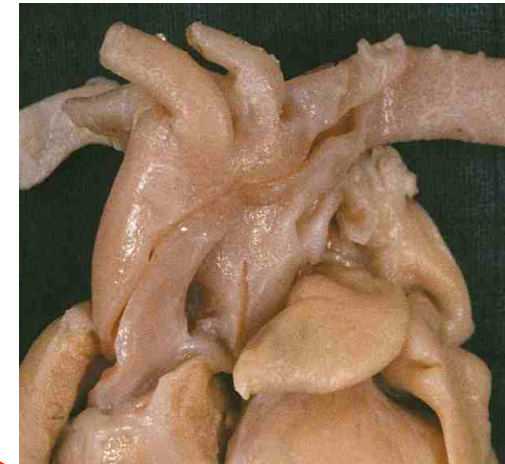


S = solitus Ao
 AP
 D L



I = inversus

VX TRANSPOSES



D-TGV



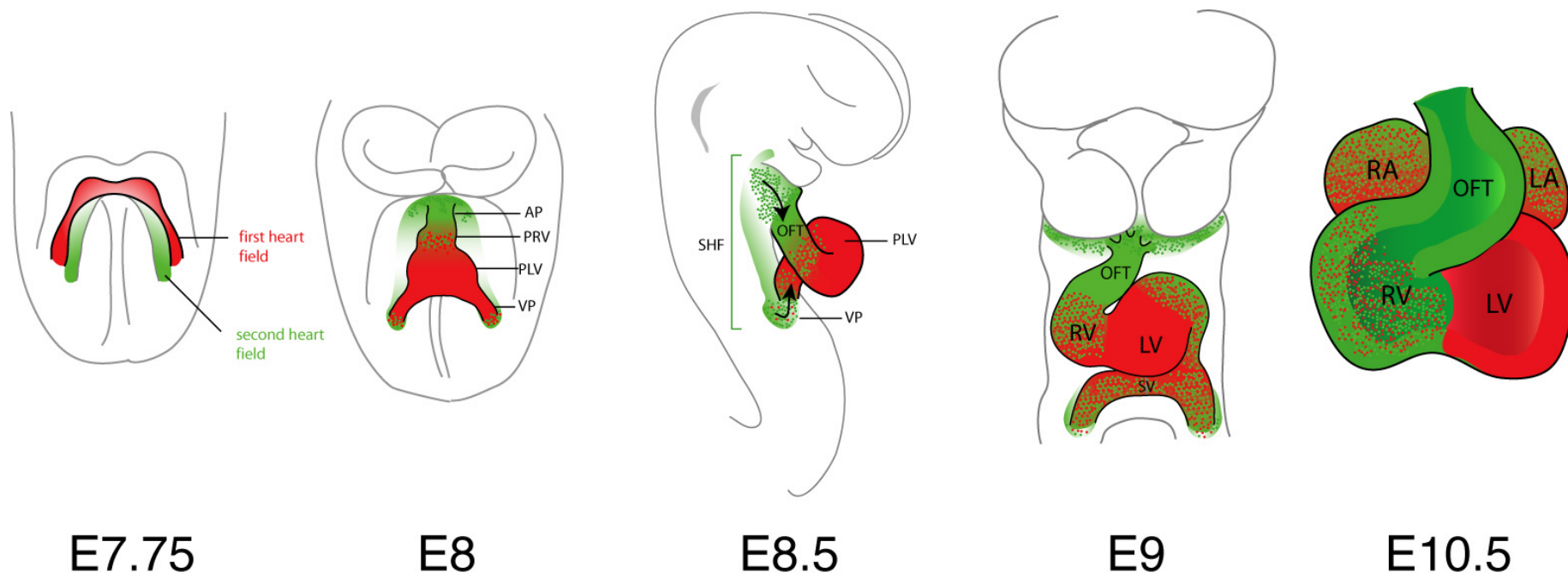
L-TGV

A = antéropostérieur

Courtesy L.Houyel

Rappel embryologique

Nouveau concept de morphogenèse : second champ cardiaque



E7.75

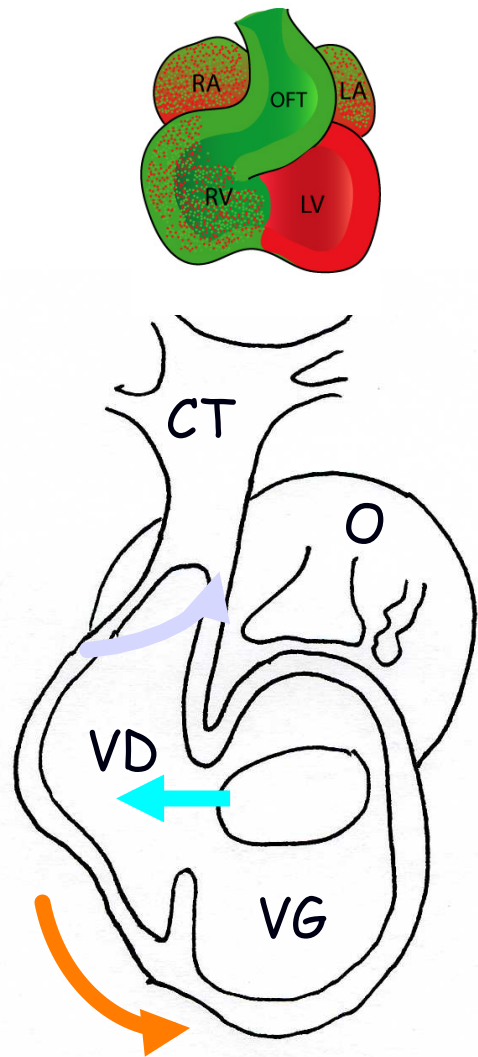
E8

E8.5

E9

E10.5

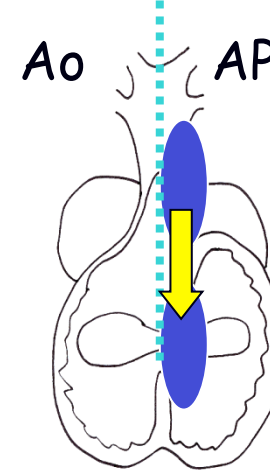
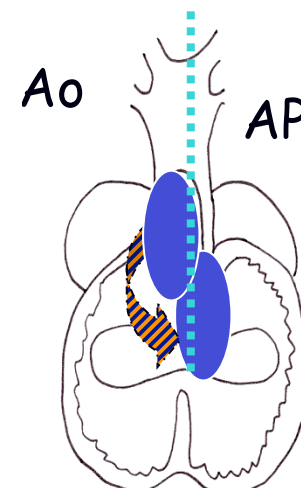
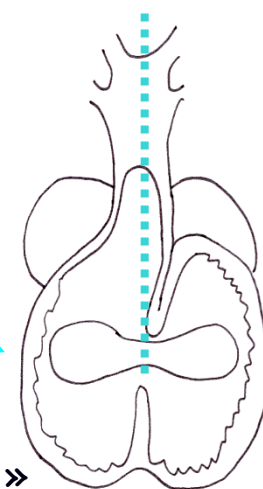
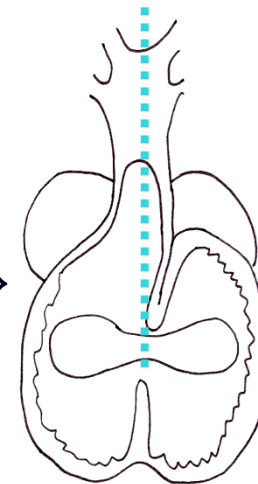
Premier champ cardiaque (cardiac crescent) = 1st lineage
Second champ cardiaque (anterior heart field) = 2nd lineage



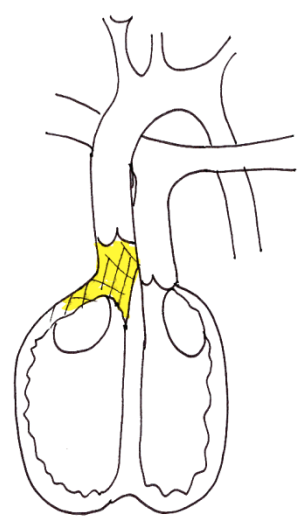
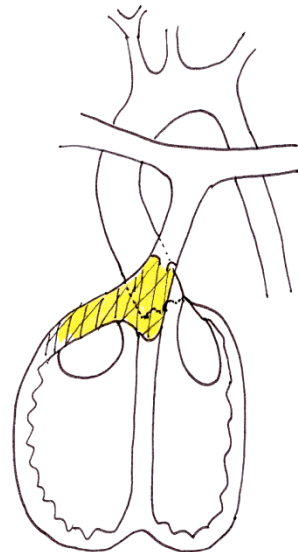
Early looping

Rotation
« normale »

Rotation
« inversée »



Cœur normal



TGV

Convergence

Rotation

Courtesy L.Houyel

Types anatomiques: simples et complexes

- TGV simple - 60%: pas d'autre lésion associée
 - TGV avec CIV
 - TGV avec CIV et coarctation
 - TGV avec CIV et sténose pulmonaire
 - L-TGV (très rare)
-
- Anomalies des valves AV
 - Fente mitrale et straddling mitral
 - Straddling tricuspidé

Etude EPICARD

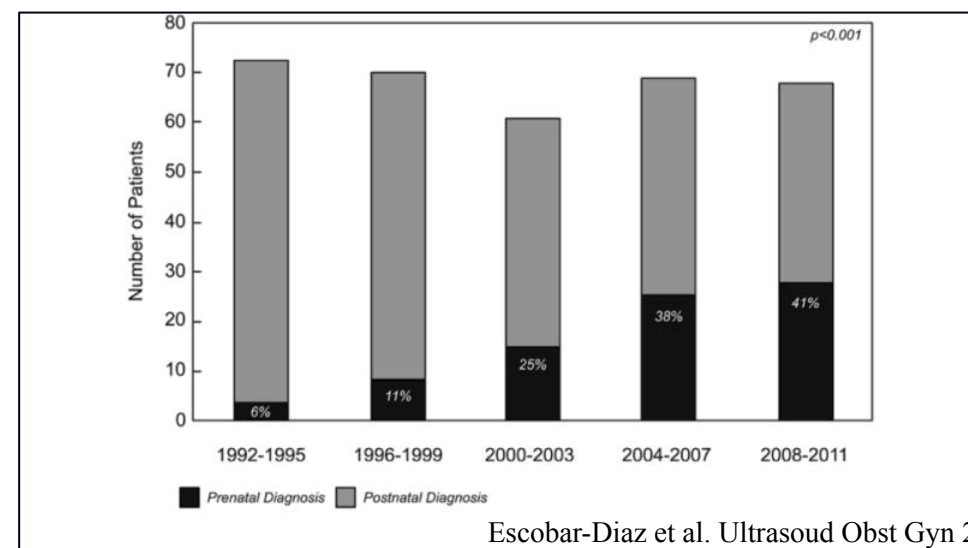
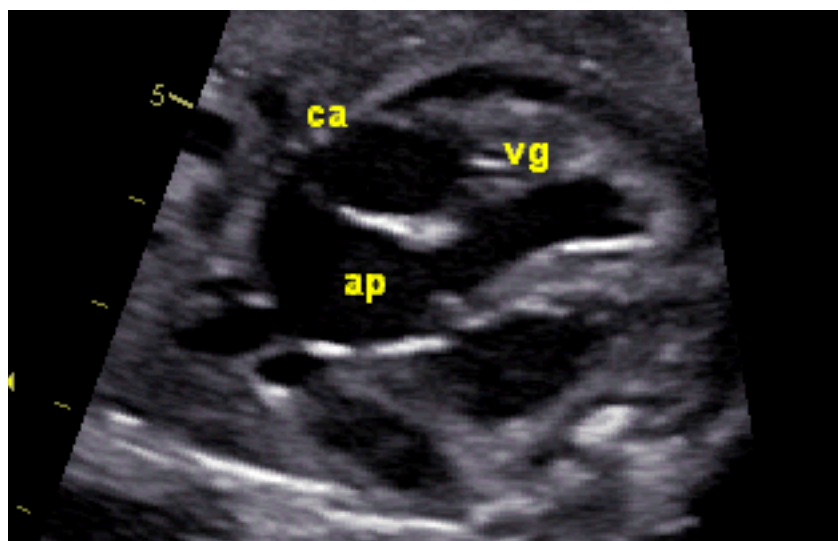
Diagnostic prénatal

Table 3 - Prenatal diagnosis, pregnancy termination, perinatal and early neonatal mortality for selected (isolated) congenital heart anomalies - Paris Registry of Congenital Malformations, 1983-2000

i) Transposition of Great Arteries

Heart. 2012 Aug 11. Prevalence, timing of diagnosis and mortality of newborns with congenital heart defects: a population-based study. Khoshnood B et al

	1983 - 1988			1989 - 1994			1995 - 2000			p [†]
	N	%	95 % CI*	N	%	95 % CI*	N	%	95 % CI*	
Prenatal Diagnosis	16	12.5	1.6 - 38.3	27	48.1	28.7 - 68.1	40	72.5	56.1 - 85.4	0.001
Pregnancy Termination	17	0	0 - 19.5	27	7.4	0.9 - 24.3	40	0	0 - 8.8	0.62
First Week Mortality	16	18.8	4.0 - 45.6	24	8.3	1.0 - 27.0	39	2.6	0.1 - 13.5	0.04
Perinatal Mortality	17	23.5	6.8 - 49.9	25	12.0	2.5 - 31.2	40	5.0	0.6 - 16.9	0.02



Detection of Transposition of the Great Arteries in Fetuses Reduces Neonatal Morbidity and Mortality

Damien Bonnet, MD; Anna Coltri, MD; Gianfranco Butera, MD; Laurent Fermont, MD;
, MD

Comparison of Characteristics of Patients in the Prenatal and Postnatal Groups

	Postnatal Group	Prenatal Group	P
Isolated TGA	204	57	NS
Associated defects	46	11	NS
VSD	31	8	NS
VSD+CoA	14	3	NS
CoA	1	1	NS
Age at admission, h	73±210	2.2±2.8	<0.01
Mechanical ventilation	95 (38)	12 (17.6)	<0.01
Metabolic acidosis±MOF	56	8	<0.05
PGE ₁ infusion	95	32	NS
BAS	168	54	NS
Preoperative mortality	15	0	<0.05
Coronary artery pattern	233 ASO	68 ASO	
Normal	168	47	NS
Abnormal	65	21	NS
Postoperative mortality	20	0	<0.01
Hospital stay, d	30±17	24±11	<0.01

VSD indicates ventricular septal defect; CoA, coarctation; MOF, multiorgan failure; PGE₁, prostaglandin E₁; BAS, balloon atrioseptotomy; and ASO, arterial switch operation. Values are n (%).

Accouchement dans un centre susceptible de pratiquer une atrioseptotomie en urgence

Accouchement déclenché

Cardiopédiatre sur place

Echographie en salle de naissance

Décision d'atrioseptotomie et/ou de PGE1

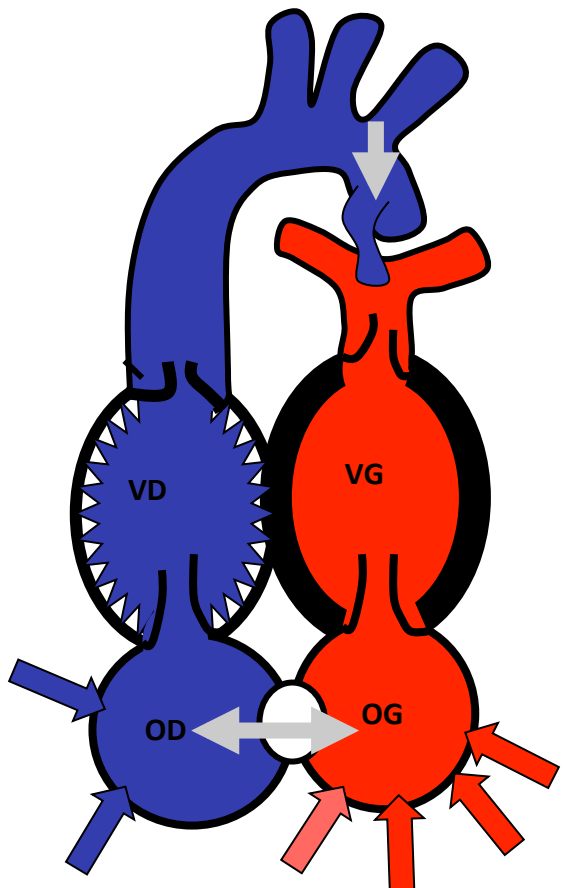
Transfert en néonatalogie



Clinique postnatal

Cyanose réfractaire en salle de naissance
sans détresse respiratoire

Pathophysiologie TGV simple

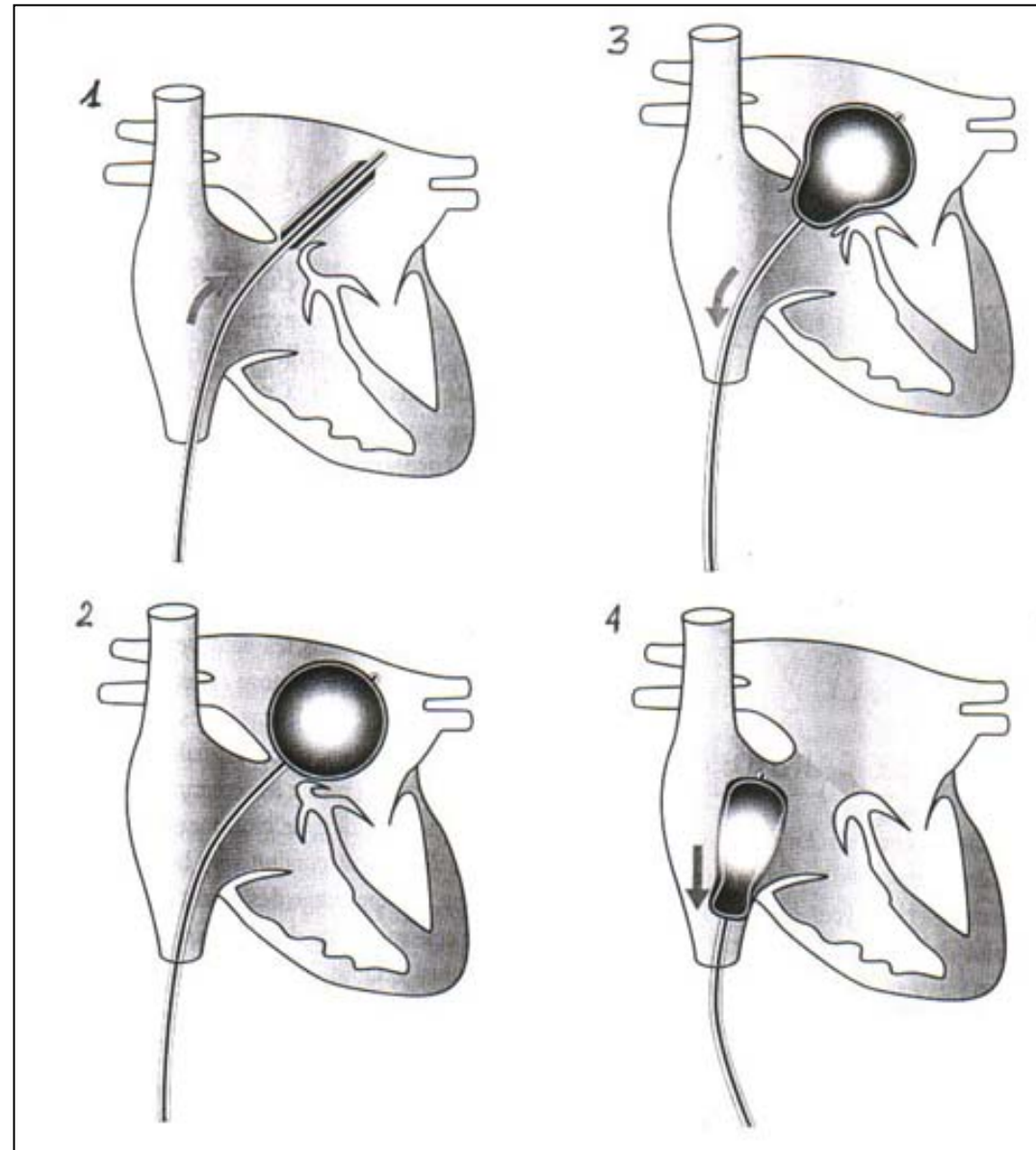


- Cardiopathie cyanogène car aorte nait du VD !
- Circulation en parallèle
- CA et FOP obligatoire pour un mixing efficace
- Risque d'OAP si FOP restrictif
- CA shunte Ao-AP à cause des résistances vasculaires
- FOP shunte G-D à cause des compliances ventriculaire

Prise en charge médicale néonatale de la TGV

- Rashkind
 - Mixing
 - Dé-précharge le VG
- PGE1
 - Effets secondaires
 - Précharge le VG

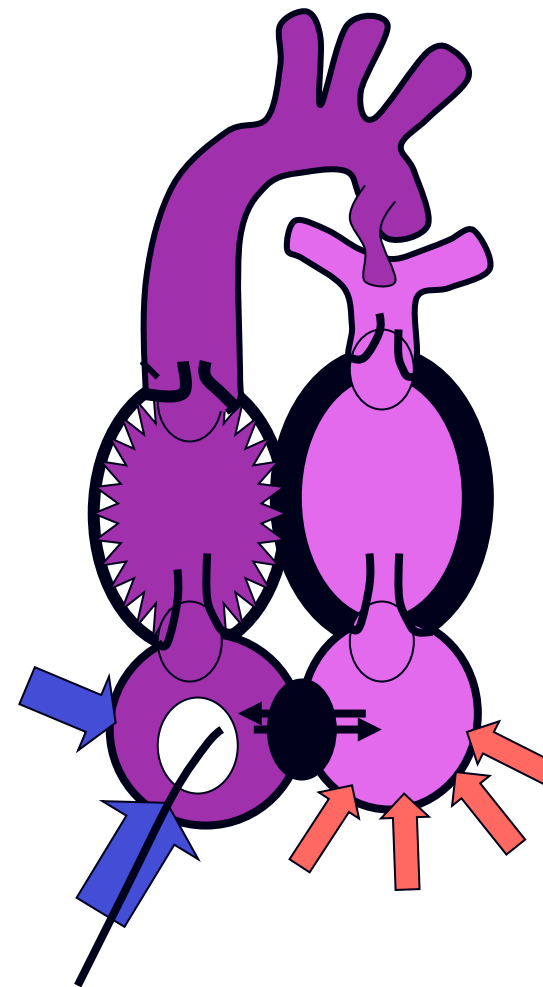
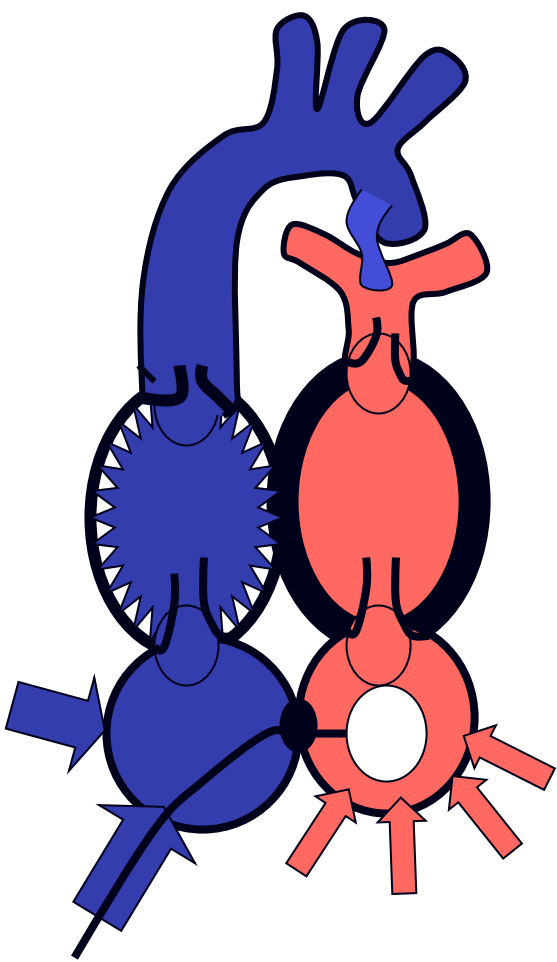
Manœuvre de Rashkind (1966)



Manœuvre de Rashkind : sous scopie ou écho



Rashkind: effet hémodynamique immédiat



Procédure réalisée dans 70% à la naissance ou dans les premiers jours

Preoperative Brain Injury in Transposition of the Great Arteries Is Associated With Oxygenation and Time to Surgery, Not Balloon Atrial Septostomy

Petit et al. Circ 2009

N= 26 NN avec switch dont 14 avec Rashkind;
10/26 avaient une leucomalacie préopératoires

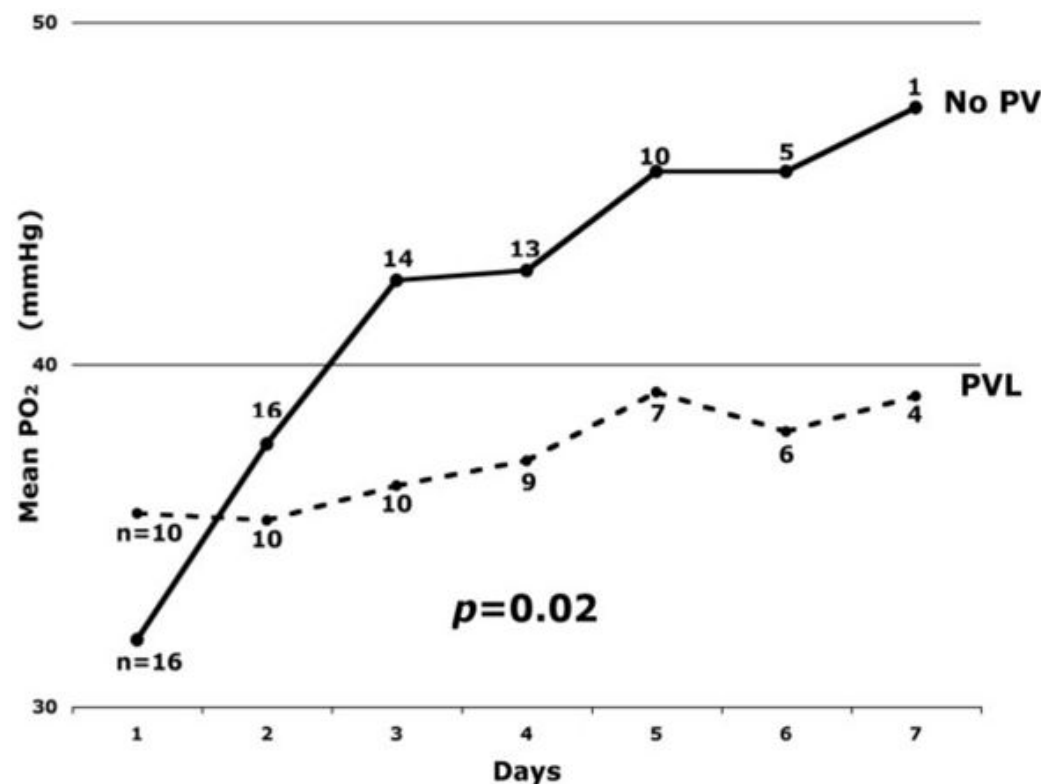
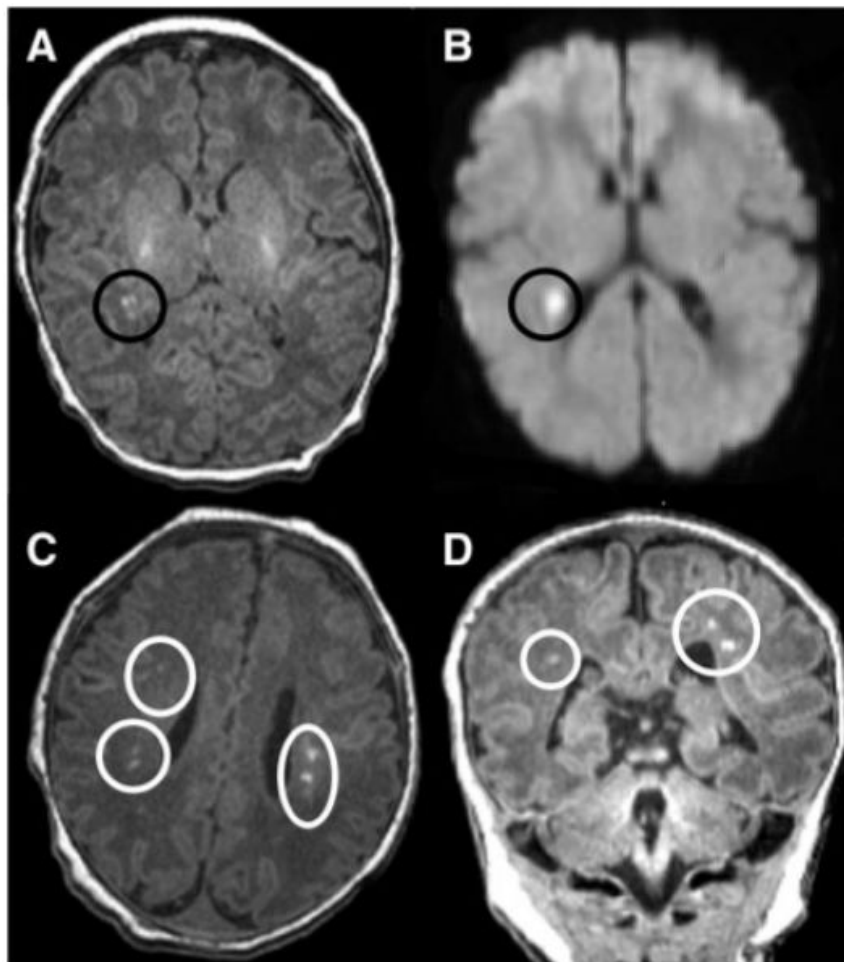
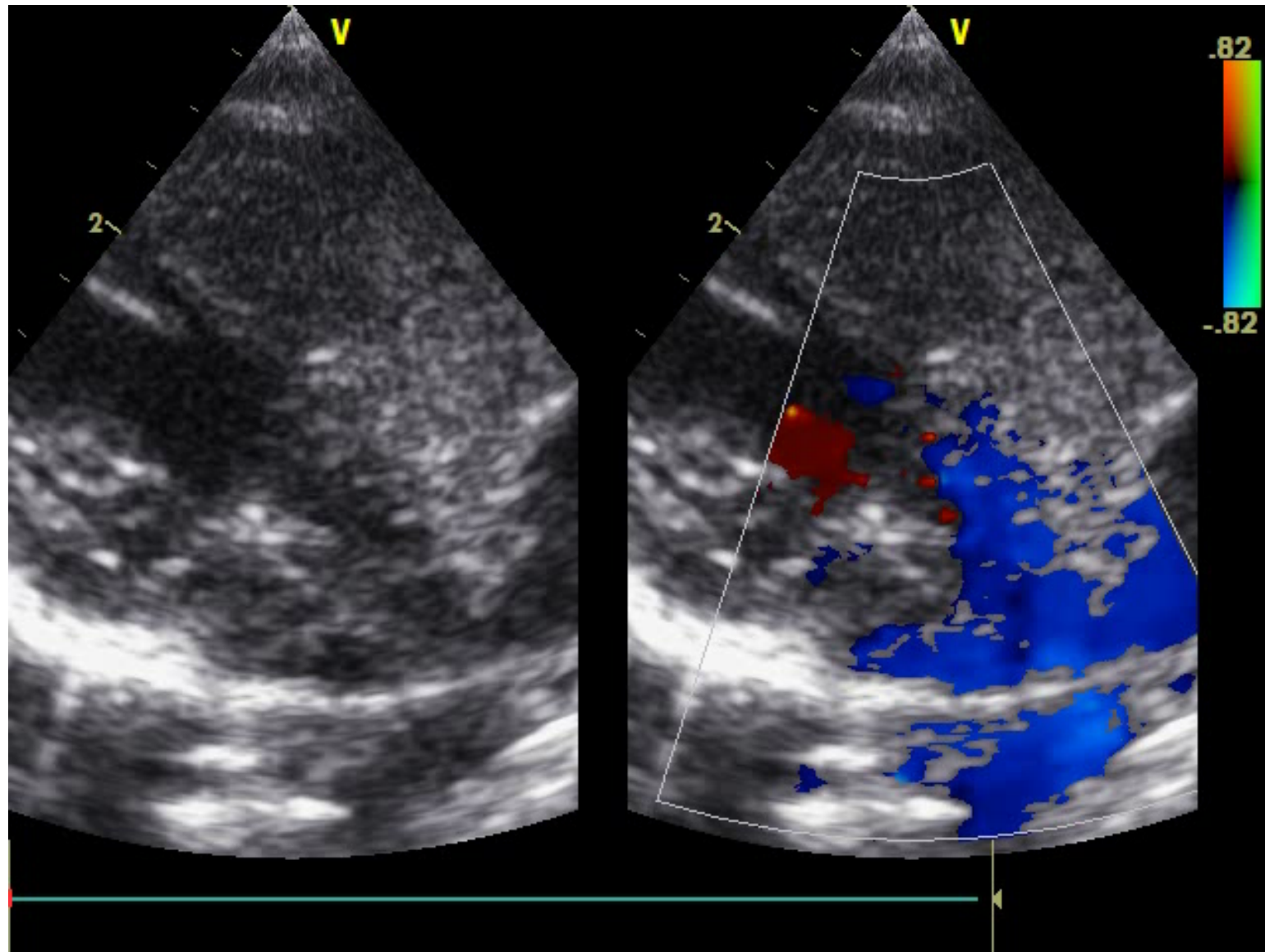


Figure 3.
A daily mean PO₂ was calculated for the PVL and no-PVL groups. Repeated-measures ANOVA demonstrated a significant difference in mean daily PO₂ between the PVL group (dashed line) and the no-PVL group (solid line; $P=0.02$). The PVL group never achieved a mean daily PO₂ >40 mm Hg.

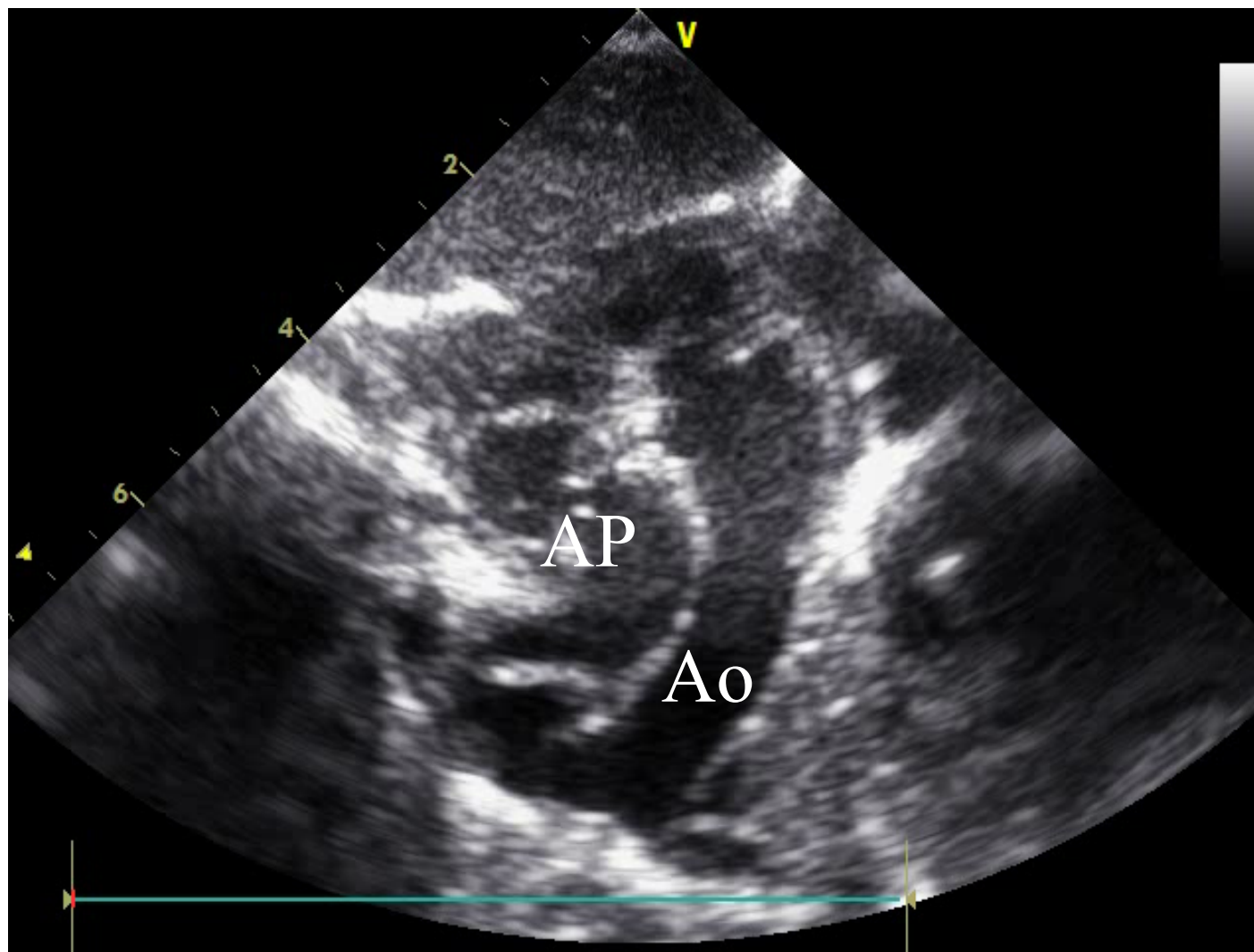
Check liste écho pré op

- CIA large ou restrictive et CA ouvert ou fermé
- **Equilibre des ventricules**
 - Petit VD : risque de coarctation
 - Petit VG : vérifier la voie pulmonaire
- **Anatomie de la valve mitrale**
 - Fente non commissurale
- **Cardiopathies associées (CIV, coarctation aortique)**
- Valve pulmonaire (futur aortique)
- Discongruence aortopulmonaire ?
- Malalignement commissural ?
- Anatomie des artères coronaires ?

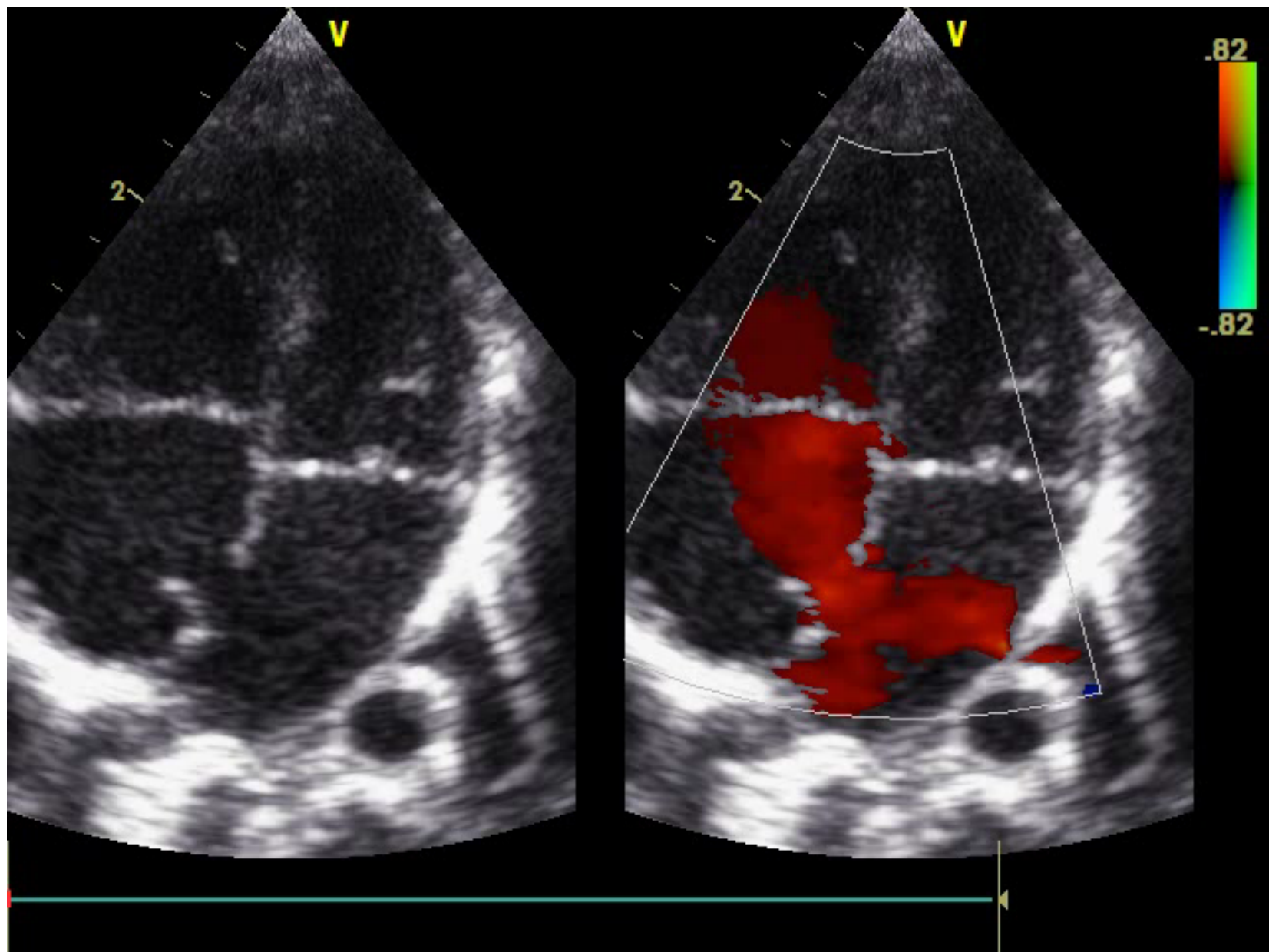
Vaisseaux parallèles: grand axe



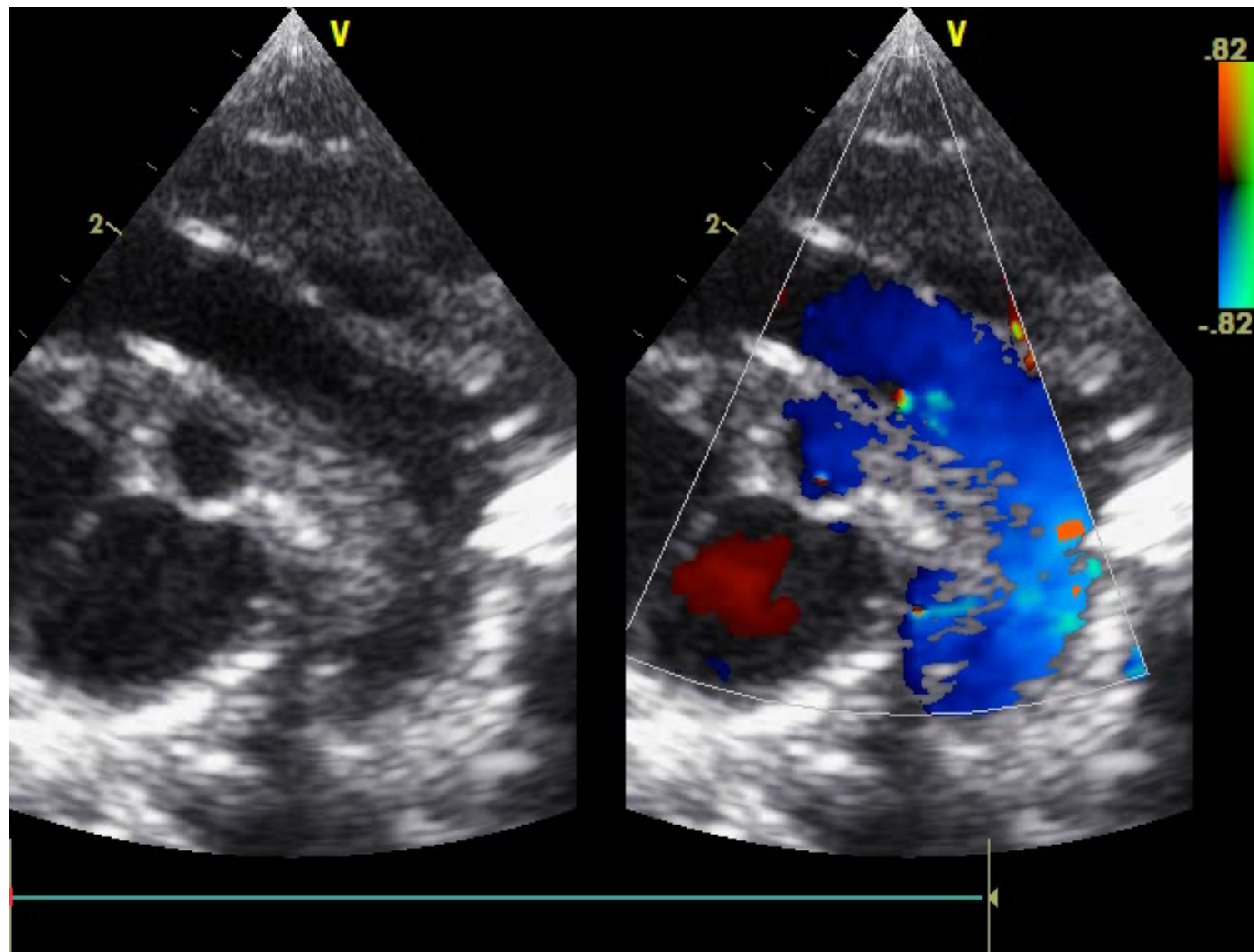
TGV en souscostal: vaisseaux parallèles



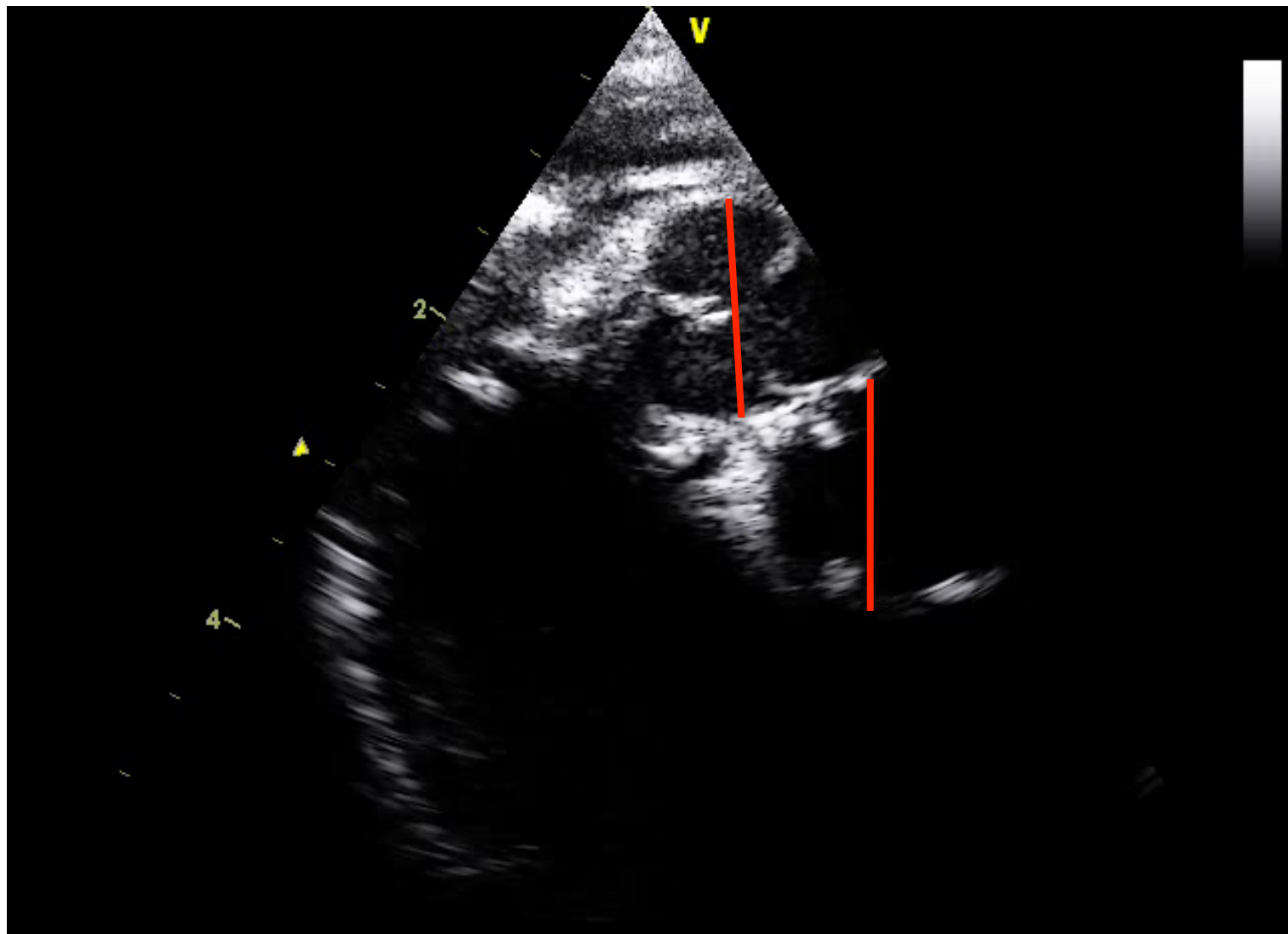
CIA post-RSK



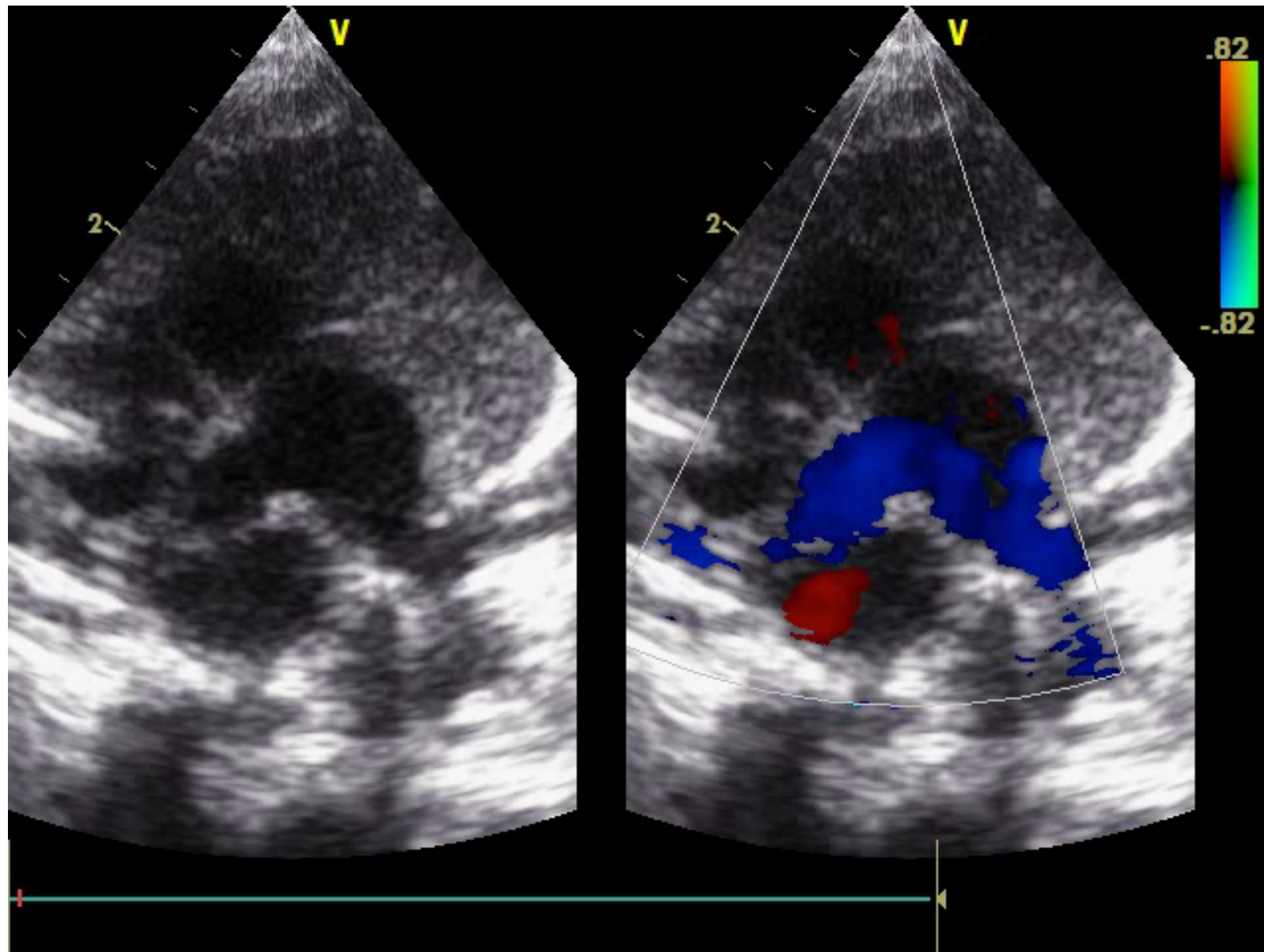
Canal artériel



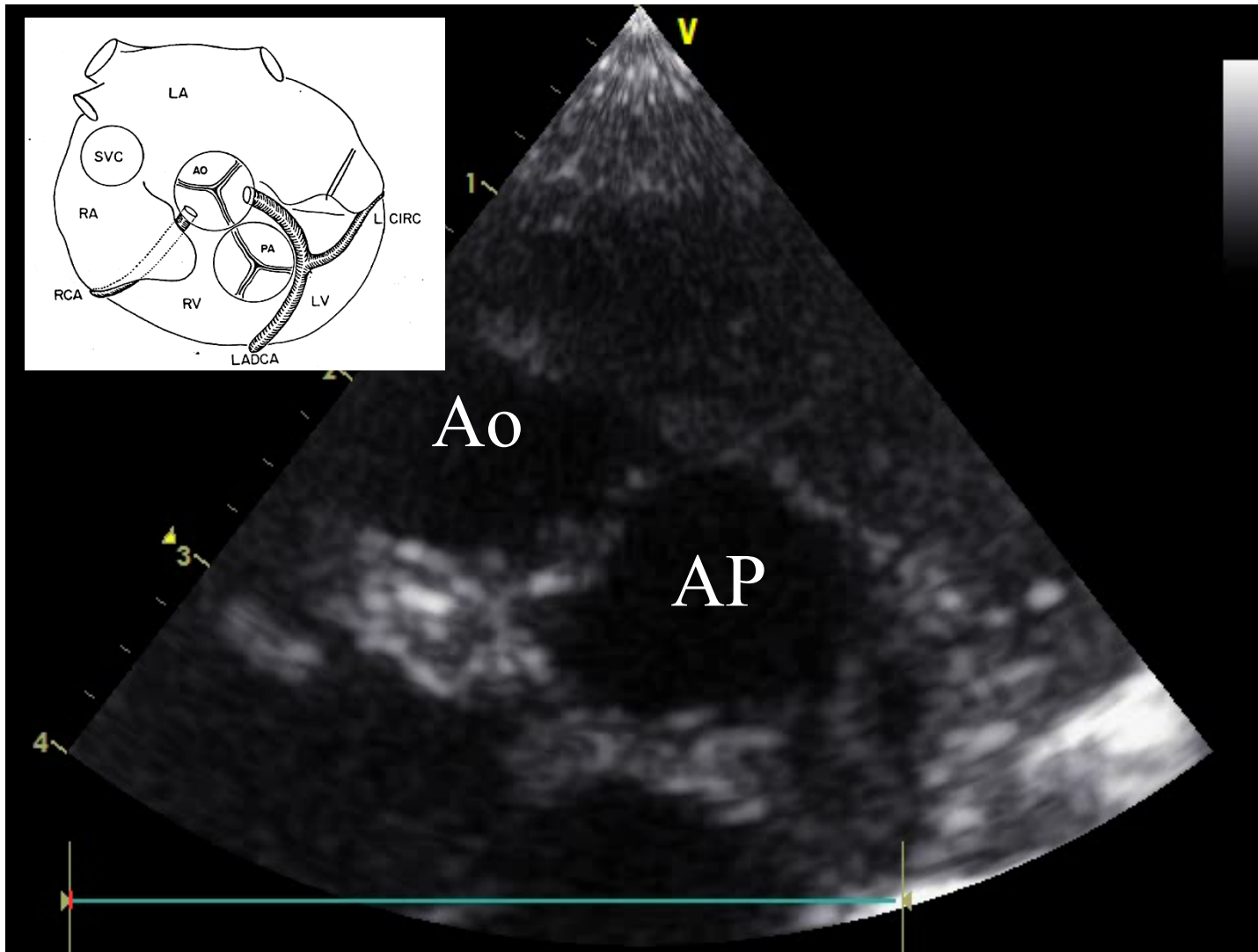
Congruence aortopulmonaire



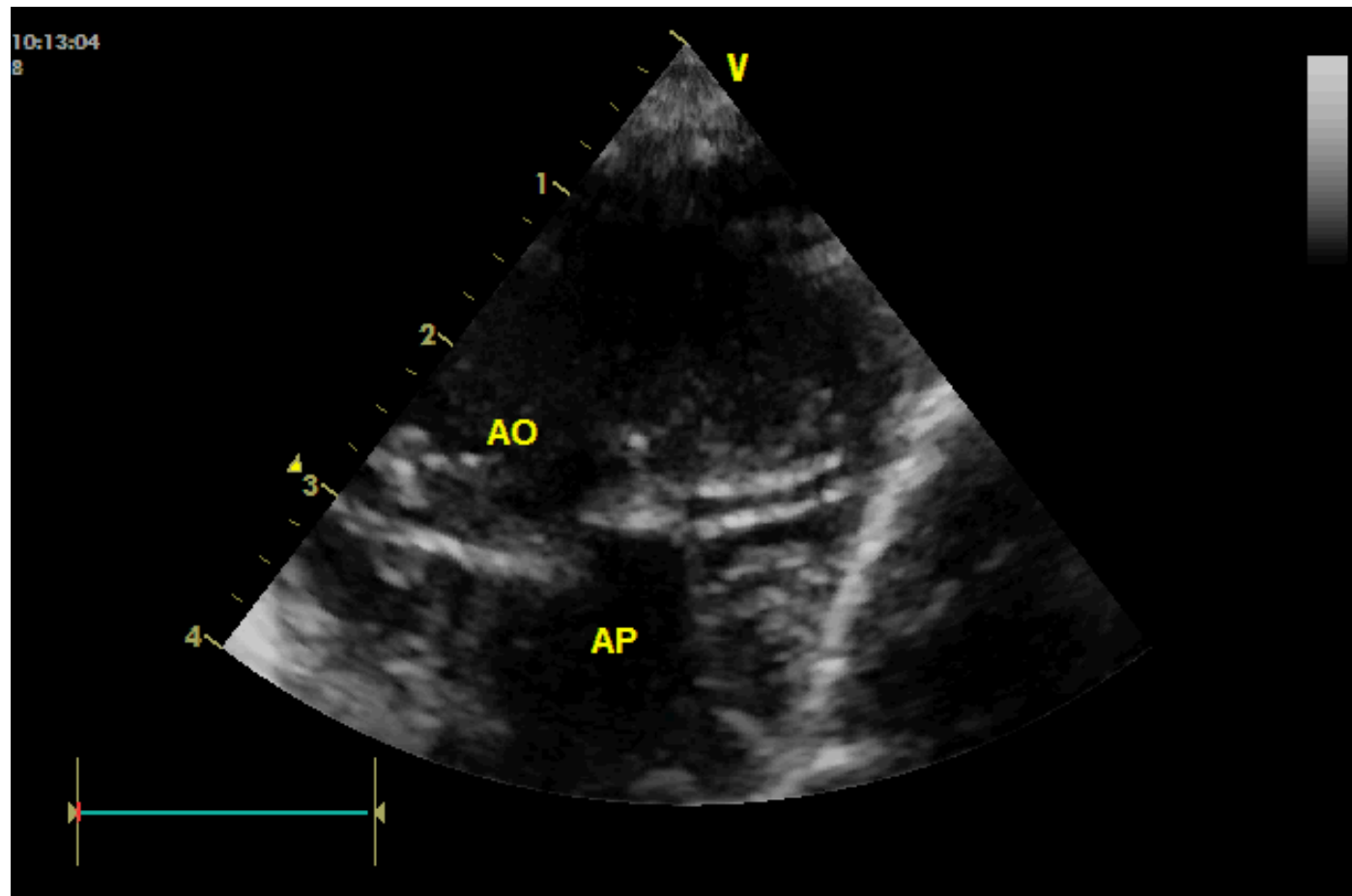
Position en D-TGV: aorte ant/AP post



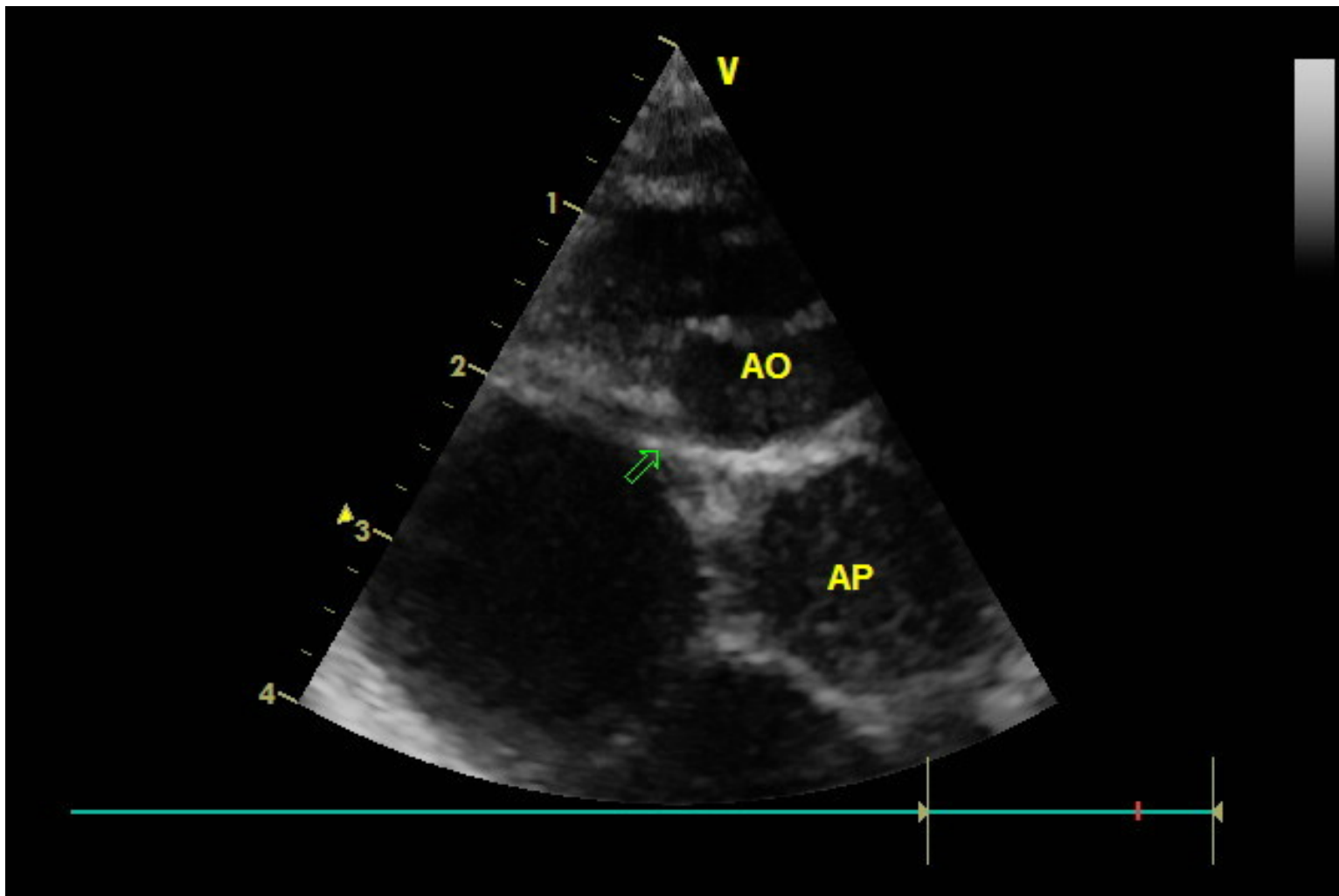
Alignment commissural



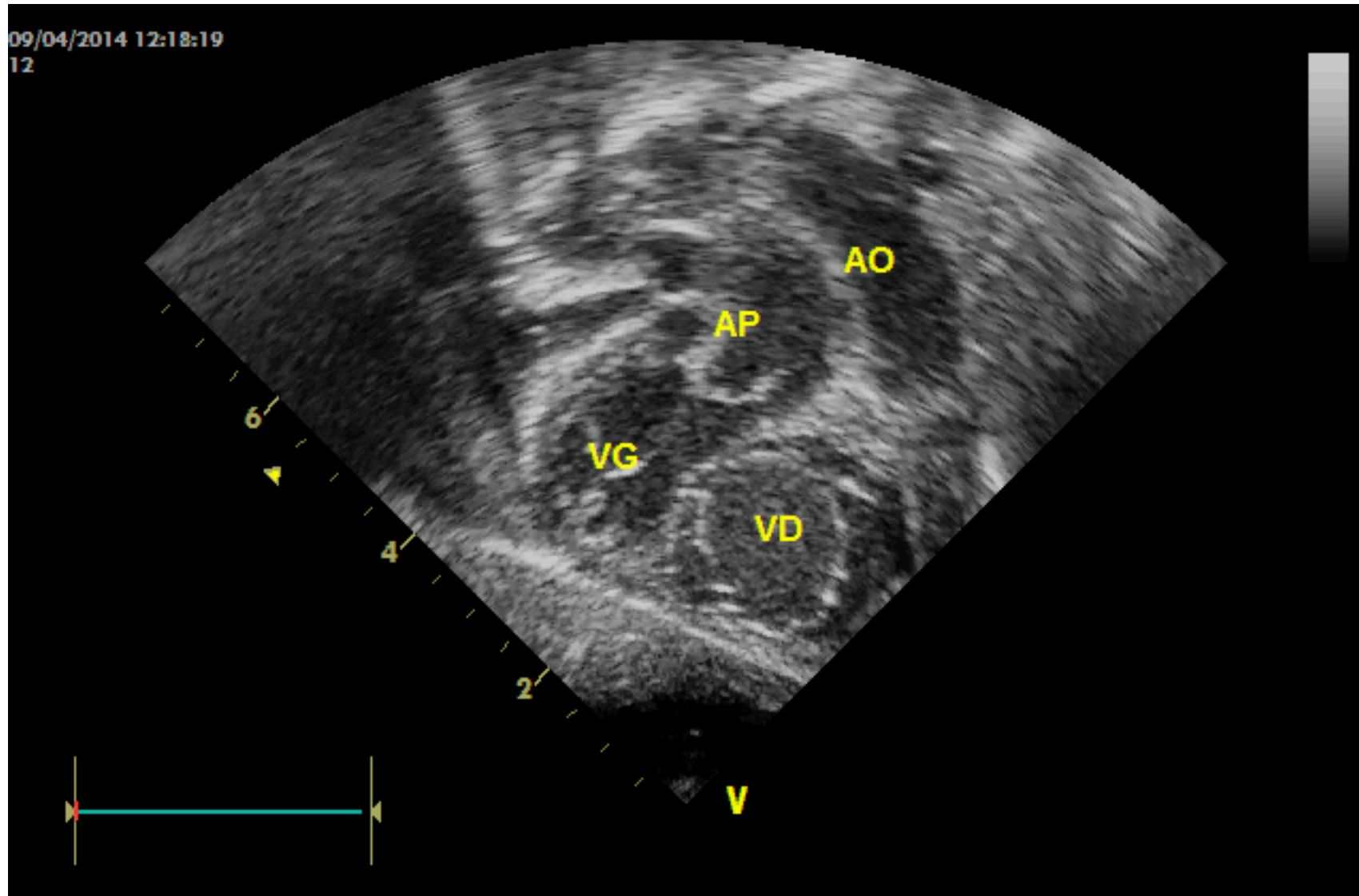
Coronaires Type A: CG



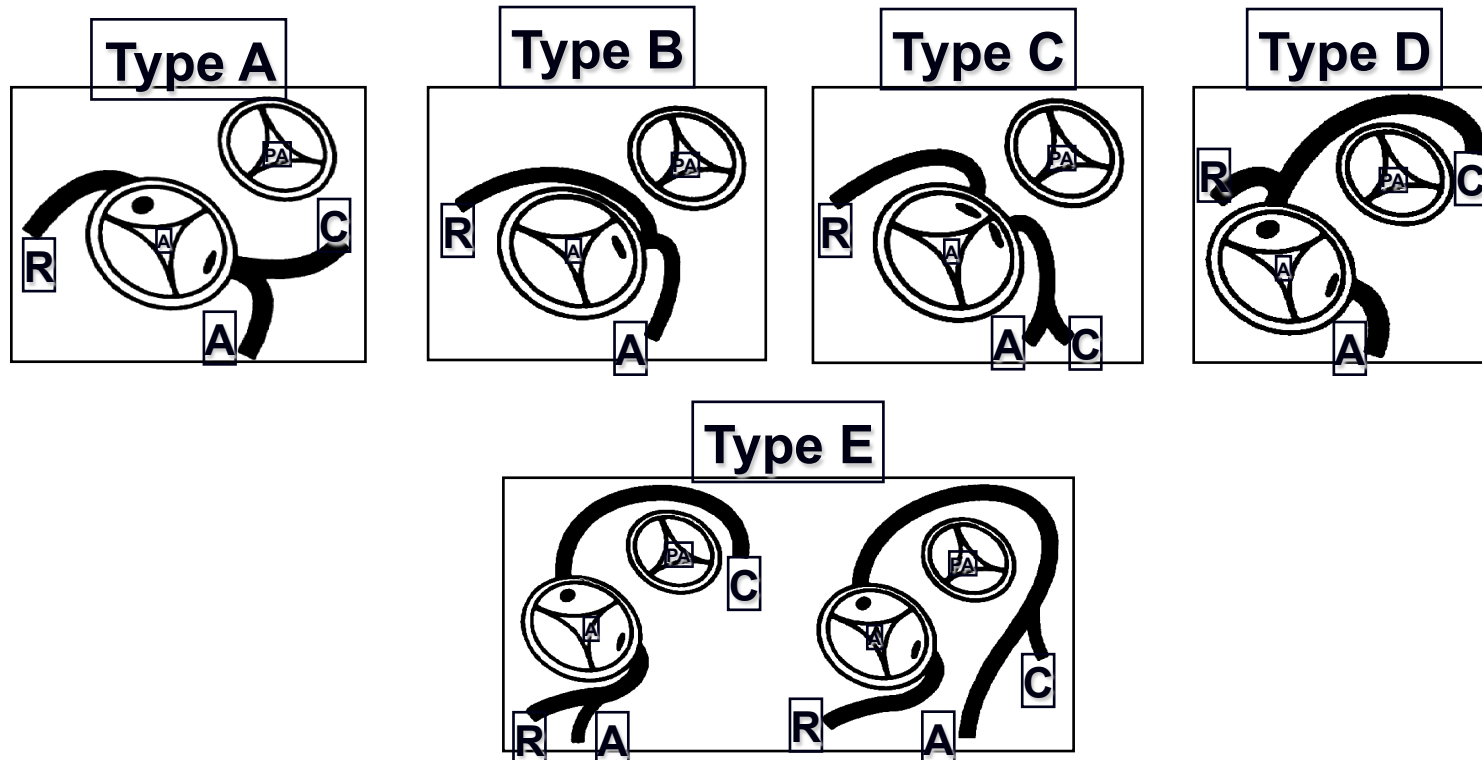
Coronaires Type A: CD

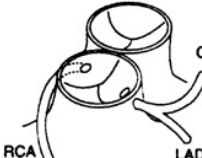
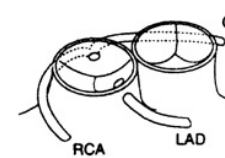
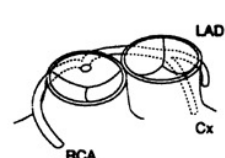
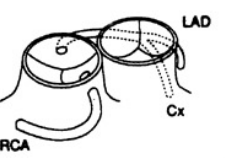
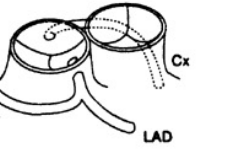
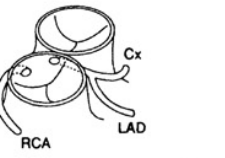


TGV avec CIV d'outlet



Classification de Yacoub



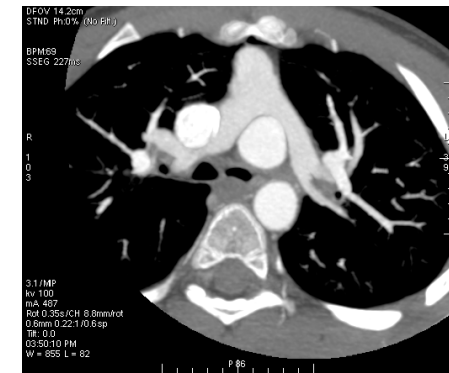
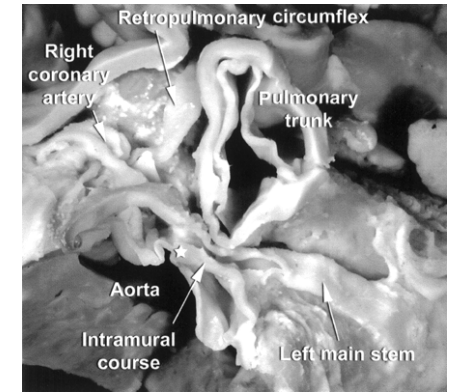
Habituel	Circonflexe de l'ACD	ACG unique	ACD unique	Inversée	ACD inversée et circonflexe	Coronaires Intramurales
						
66,9%	16,1%	1,7%	3,9%	2,4%	4,2%	3,2%

Anatomie coronaire

- « normale » : 60%
- boucle antérieure et/ou postérieure : 35%
- entre gros vaisseaux (intramurale) : 5%

Complications du switch artériel

- Mortalité
 - 1 à 2%
 - Liée aux coronaires
- Morbidité (importance du suivi)
 - Coronaires
 - coronaire intra-murale
 - Coronaire unique
 - Voie droite (patch et Lecompte)
 - IA sur néo-valve aortique, dilation Ao
 - HTAP primitive:
 - 1/200 TGV soit 100 fois plus fréquente que dans la population générale
 - Étiologie inconnue
 - Traitement médical.....Potts



Les lésions coronaires après switch artériel

Comment les détecter?

ECG et échographie (IM!!!)

Coroscanter si signe d'ischémie

Coronarographie si doute

Test d'ischémie (scintigraphie)

Coroscanter systématique à 5 ans

Que faire ?

Rappeler votre chirurgien...

Devenir

Outcomes of the Arterial Switch Operation for Transposition of the Great Arteries: 25 Years of Experience

Tyson A. Fricke, BMedSc, Yves d'Udekem, MD, PhD, Malcolm Richardson, MBBS,

Table 2. Early Mortality

Era	Overall (Deaths/No. Patients)	TGA-IVS	TGA-VSD	TGA-AAO
1983–1989	2/129 1.6%	1/69 1.4%	1/49 2.0%	0/11 0%
1990–1999	9/266 3.4%	3/189 1.6%	3/64 4.7%	3/13 23.1%
2000–2009	6/223 2.6%	3/139 2.2%	3/70 4.3%	0/14 0%
1983–2009	17/618 2.8%	7/397 1.8%	7/183 3.8%	3/38 7.9%

AAO = aortic arch obstruction; IVS = intact ventricular septum;
TGA = transposition of great arteries; VSD = ventricular septal defect.

Mortalité globale du switch artériel: 2,8%

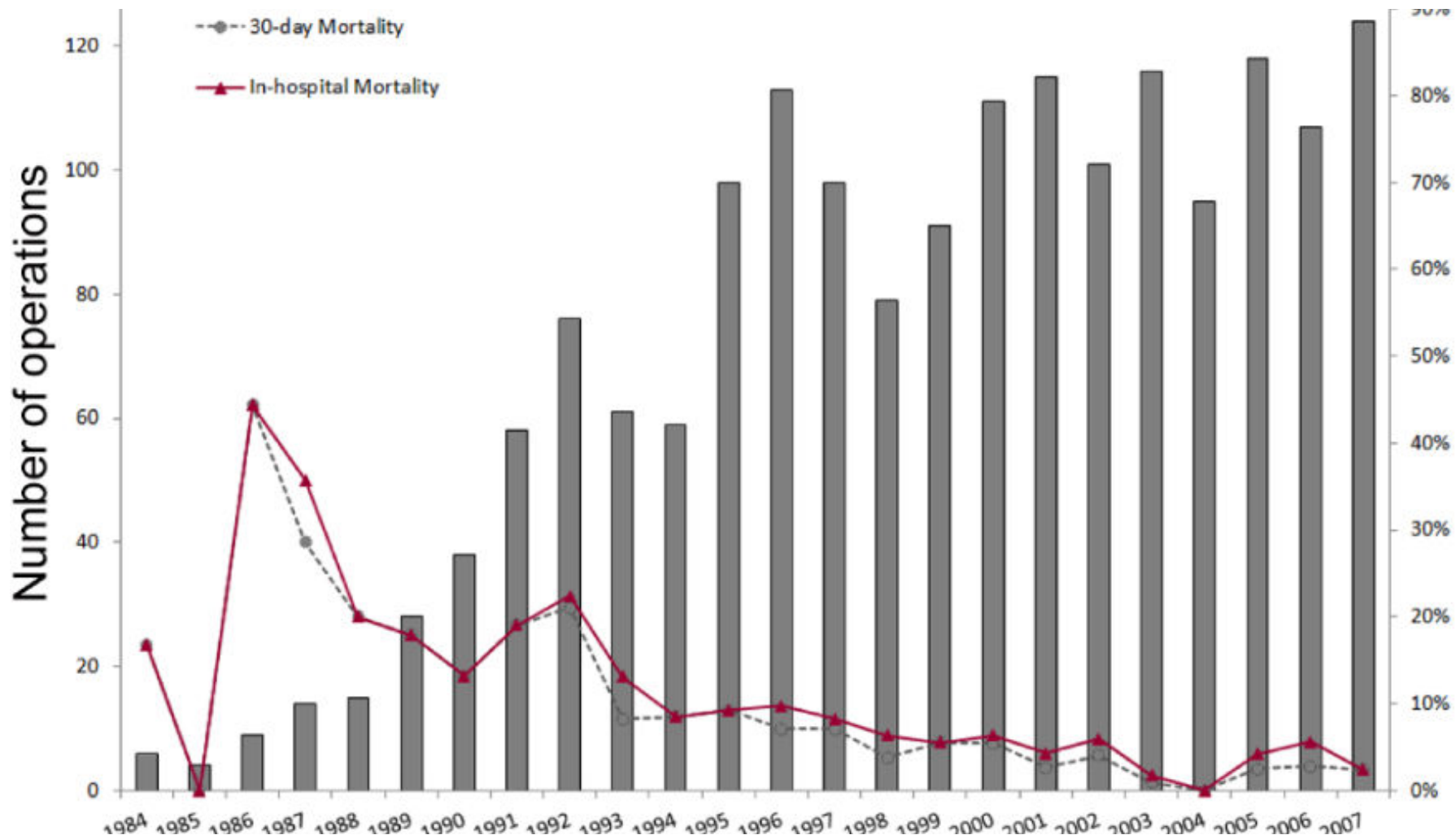
D-TRANSPOSITION OF THE GREAT ARTERIES: Hot Topics in the Current Era of the Arterial Switch Operation

TABLE 2

Outcome and predictors of early mortality of the arterial switch operation for TGA with IVS publications during the last decade.

Author, year	Inclusive years	n	% IVS	Early Survival For TGA IVS %	5 Year Survival%	10 Year Survival%	Coronary anatomic risk factors	Other predictors of early mortality
Sarris, 2006*	1998–2000	613	70	97	NA	NA	Single coronary (univariate analysis only)	Open sternum
Lalezari, 2011	1977–2007	332	60.8	88.6	85.8†	85.2†	Not a risk factor for early mortality	Technical problems with coronary transfer
Fricke, 2012	1983–2009	618	64	98.2	98	97	Not a risk factor for early mortality	Weight < 2.5 kg ECMO
Khairy, 2013	1983–1999	400	59.5	93.5†	NA	92.7†	Single right coronary artery	Postoperative heart failure
Cain, 2014	2000–2011	70	100	98.6	NA	NA	None identified	No predictors of early mortality but earlier repair < 4 days of age was associated with decrease resource utilization
Anderson, 2014	2003–2012	140	75	98.6	NA	NA	None identified	No predictors of early mortality but earlier repair < 4 days of age was associated with decrease resource utilization

D-TRANSPOSITION OF THE GREAT ARTERIES: Hot Topics in the Current Era of the Arterial Switch Operation

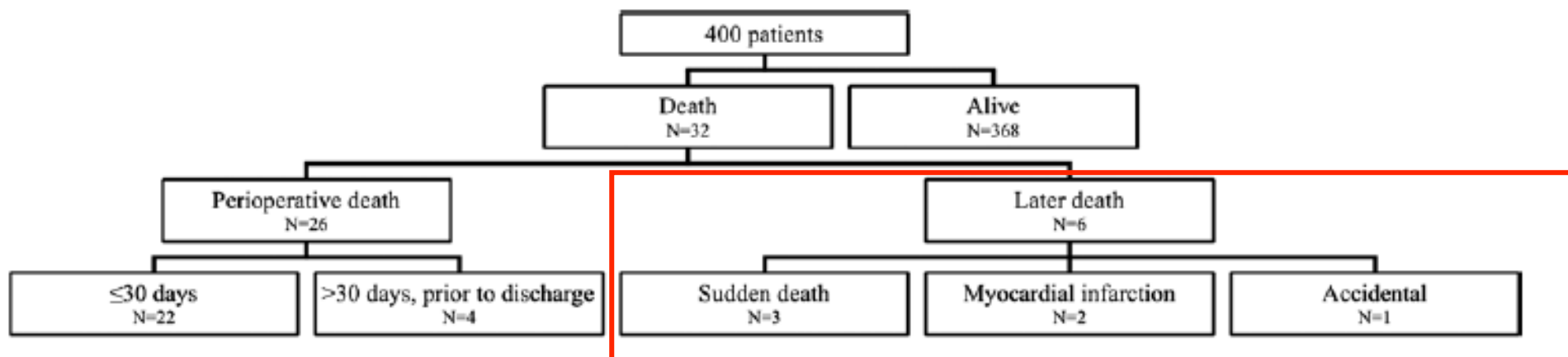


Données du Pediatric Cardiac Care Consortium: 45 centres aux USA; n=1700 patients depuis 1984
2,9% de mortalité dans les derniers 5 ans

Villafane JACC 2014

Cardiovascular Outcomes After the Arterial Switch Operation for D-Transposition of the Great Arteries

Paul Khairy, MD, PhD; Mathieu Clair, MD; Susan M. Fernandes, MHP, PA-C;
Elizabeth D. Blume, MD; Andrew J. Powell, MD; Jane W. Newburger, MD, MPH;
Michael J. Landzberg, MD; John E. Mayer Jr, MD



Switch artériel entre 1988-1999

Circulation. 2013;127:331-339

Cardiovascular Outcomes After the Arterial Switch Operation for D-Transposition of the Great Arteries

Paul Khairy, MD, PhD; Mathieu Clair, MD; Susan M. Fernandes, MHP, PA-C;
Elizabeth D. Blume, MD; Andrew J. Powell, MD; Jane W. Newburger, MD, MPH;
Michael J. Landzberg, MD; John E. Mayer Jr, MD

Functional capacity		Recognized comorbidities	
New York Heart Association functional class, n (%)		Coronary artery disease, n (%)	19 (5.2)
Class I	290 (97.3)	Hypertension, n (%)	12 (3.3)
Class II	8 (2.7)	Pulmonary stenosis	
Class III or IV	0 (0)	Present, n (%)	171 (62.2)
Peak heart rate, bpm	180±18	Gradient in patients with pulmonary stenosis, mm Hg	25±17
Peak percent heart rate predicted, %	90.7±7.0	At least moderate pulmonary stenosis, n (%)	28 (10.3)
Heart rate reserve, bpm	101±21	Neoaortic stenosis	
Chronotropic index, %	83.9±10.9	Present, n (%)	37 (11.9)
Respiratory exchange ratio (RER)	1.16±0.09	Gradient in patients with neoaortic stenosis, mm Hg	19±7
Peak oxygen uptake, mL/kg/min	35.1±7.6	At least moderate aortic stenosis, n (%)	10 (3.2)
Percent maximum predicted peak oxygen uptake, %	86.1±15.1		

Executive function and theory of mind in school-aged children after neonatal corrective cardiac surgery for transposition of the great arteries

JOHANNA CALDERON^{1,2,3} | DAMIEN BONNET¹ | CYRIL COURTIN³ | SUSAN CONCORDET¹ |
MARIE-HELENE PLUMET² | NATHALIE ANGEARD²

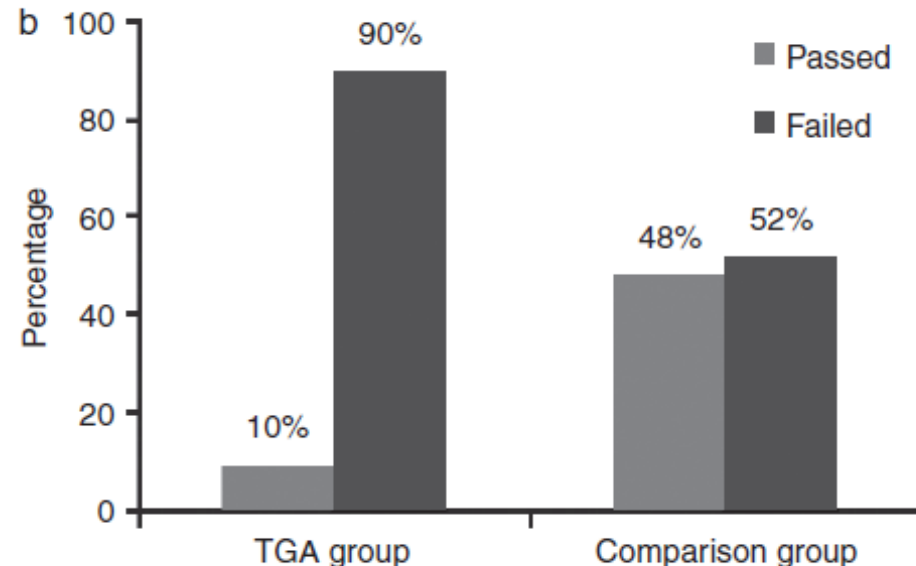
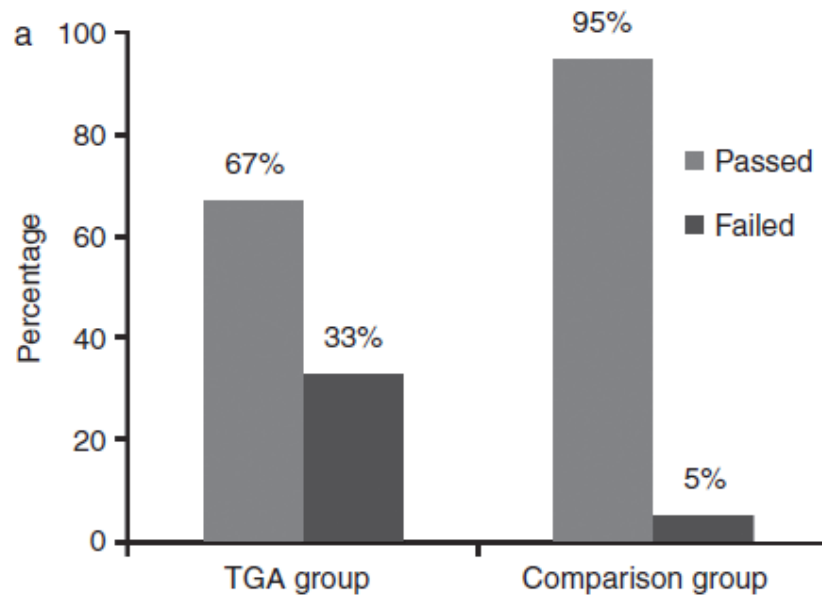


Figure 1: Performance of children with transposition of the great arteries (TGA) and of comparison individuals on theory of mind tasks. (a) First-order false belief task (level 1). (b) Second-order false belief task (level 2).

n=21 pts vs n=21 ctr
Mean IQ 113 normal